

Traitements et analyse des données CARS hyperspectrales pour l'imagerie cellulaire

D. Boildieu, A. Magnaudet, P. Leproux, D. Helbert, P. Carré

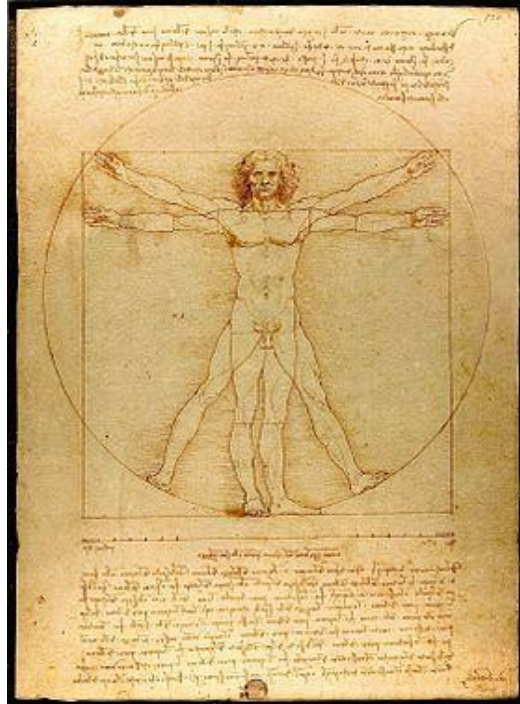


Contexte biologique



Les différentes échelles du vivant

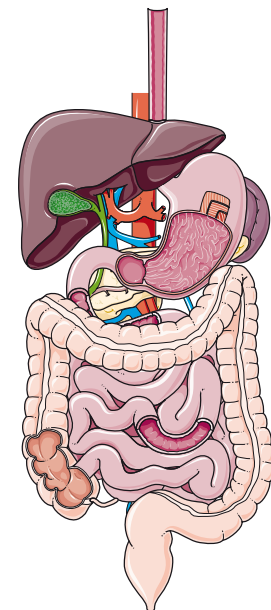
Anatomie



Organisme pluricellulaire

Ex : humain

Systèmes
Appareils

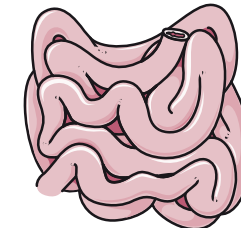


Ex : appareil
digestif

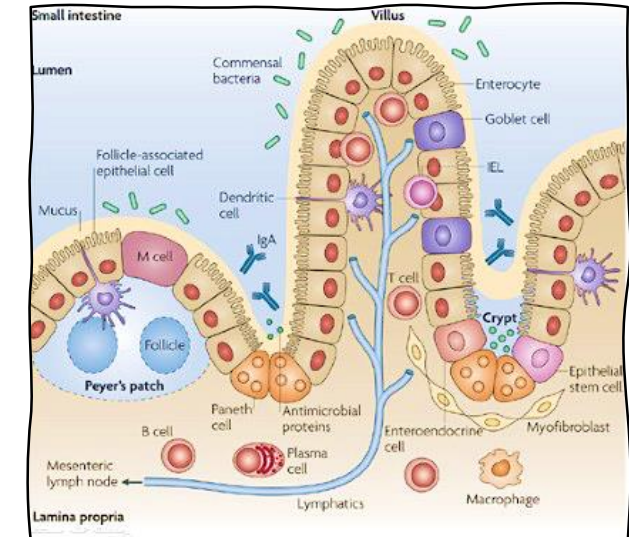
Physiologie
Histologie

Organes

Tissus



Ex : intestin grêle

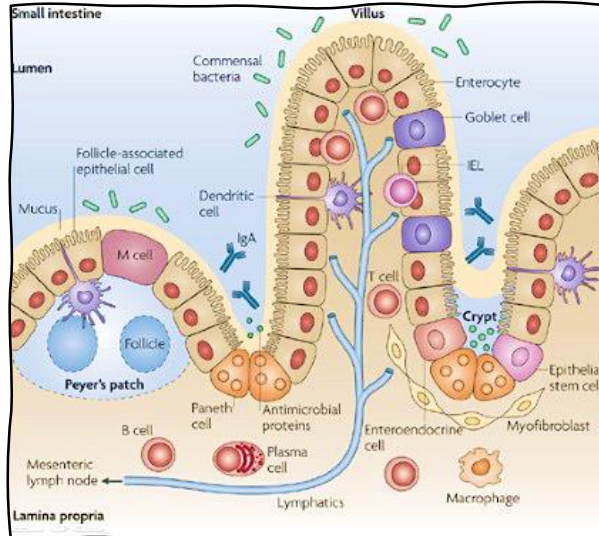


Ex: épithélium
intestinal



Les différentes échelles du vivant

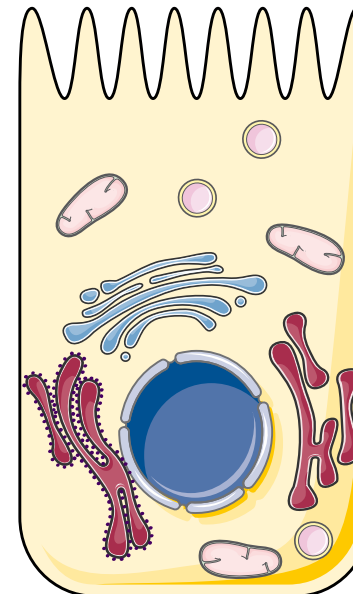
Tissus



Ex : épithélium intestinal

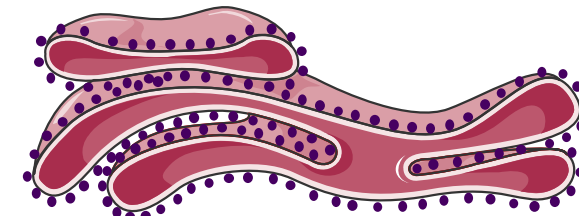
*Physiologie cellulaire
Biologie cellulaire
Biologie moléculaire*

Cellules



Ex: entérocyte

Organites

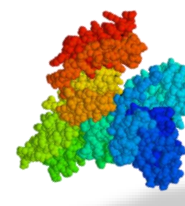


Ex: réticulum endoplasmique rugueux

*Biologie cellulaire
Biologie moléculaire*

Macromolécules, molécules

Ex : protéines



Biochimie

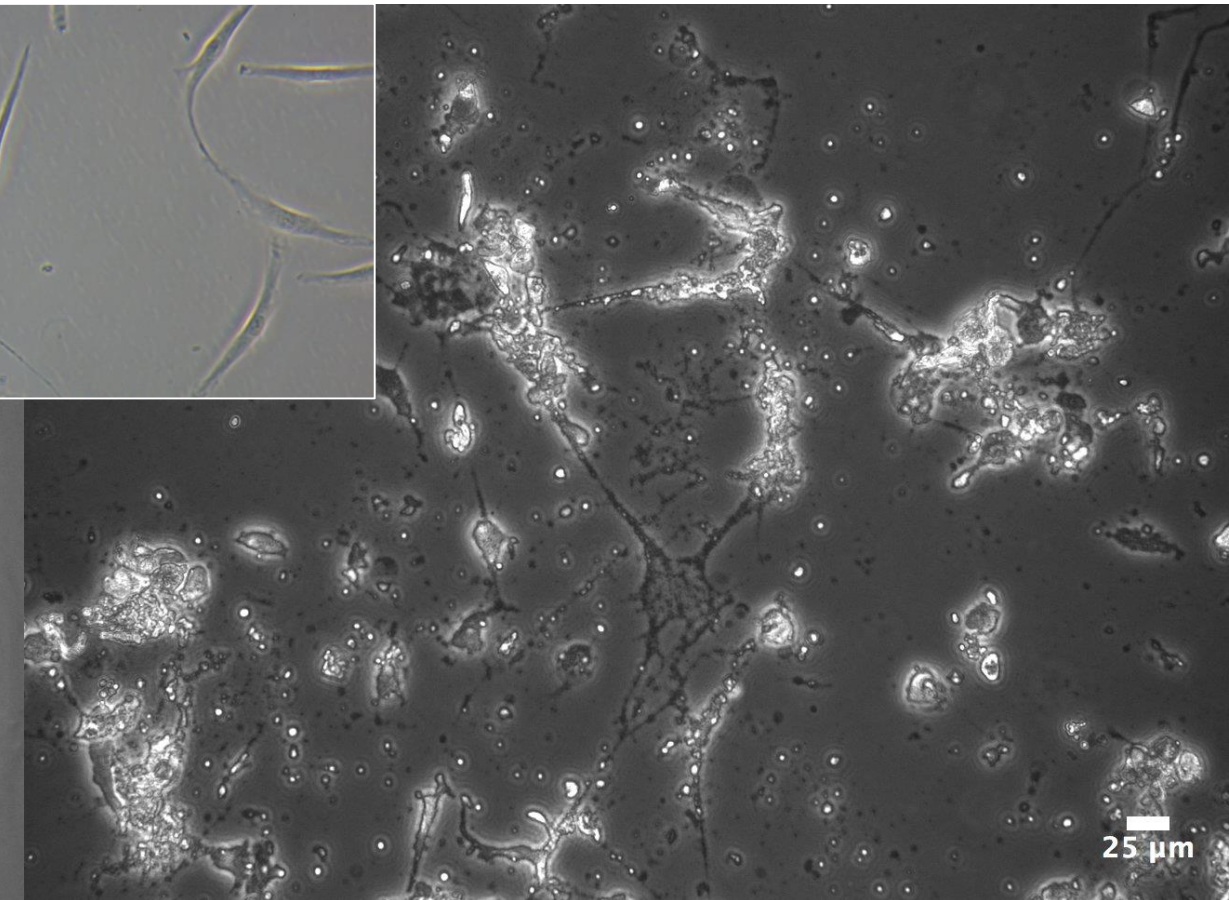
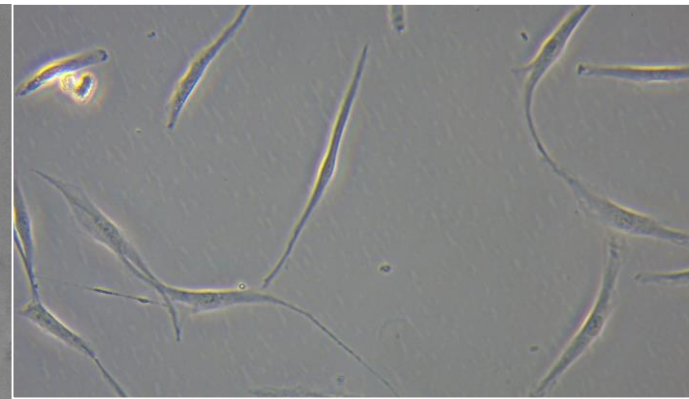
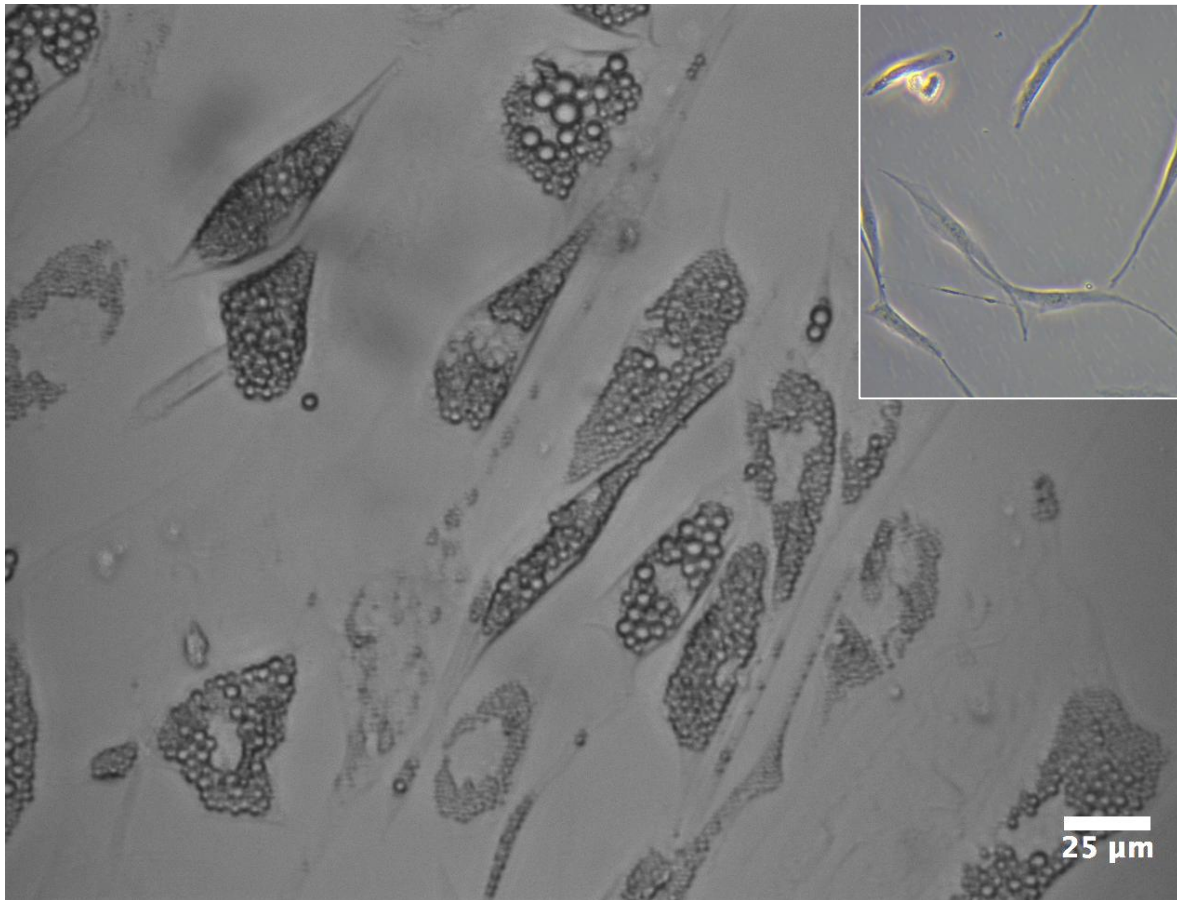




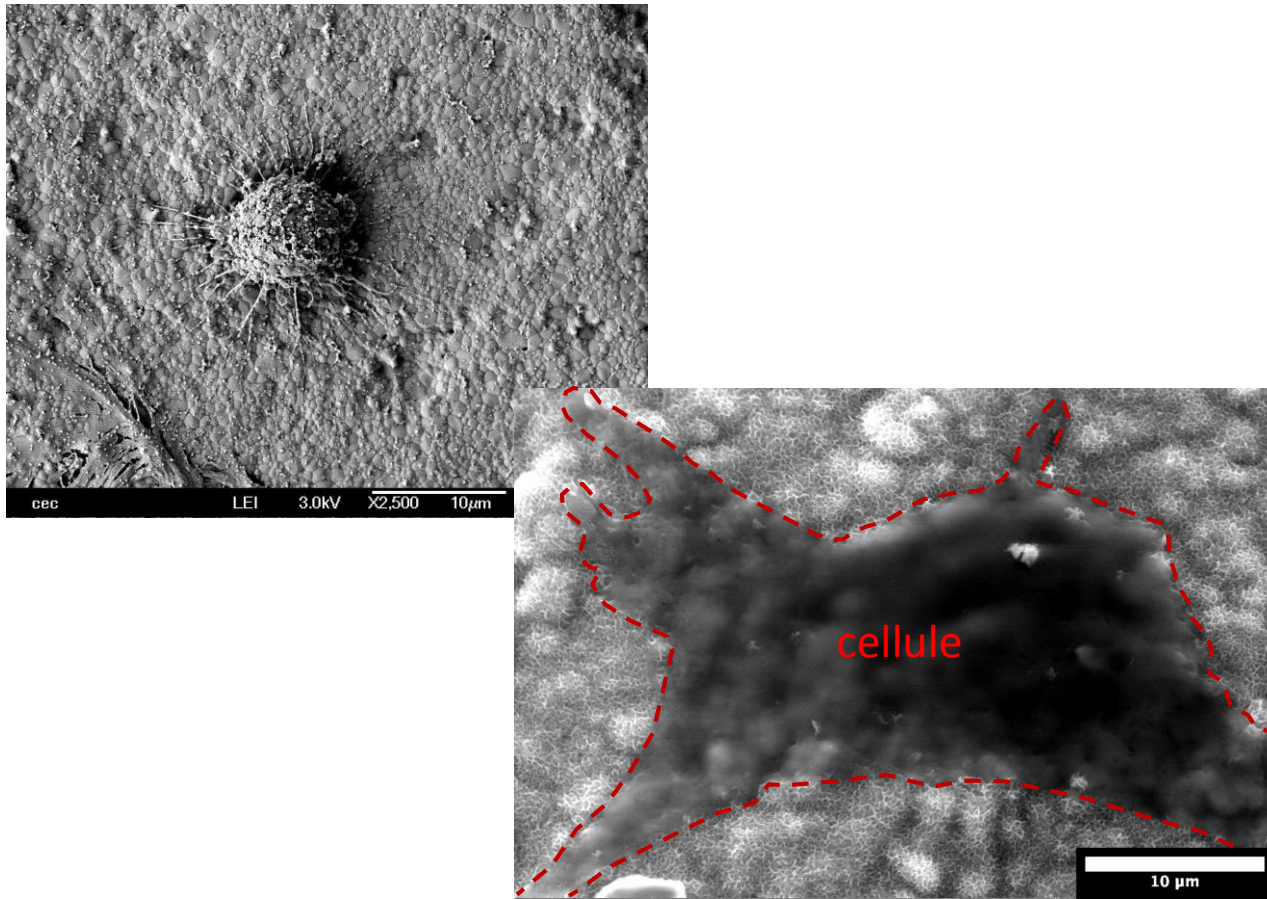
Microscopie optique en lumière blanche

=> morphologie cellulaire

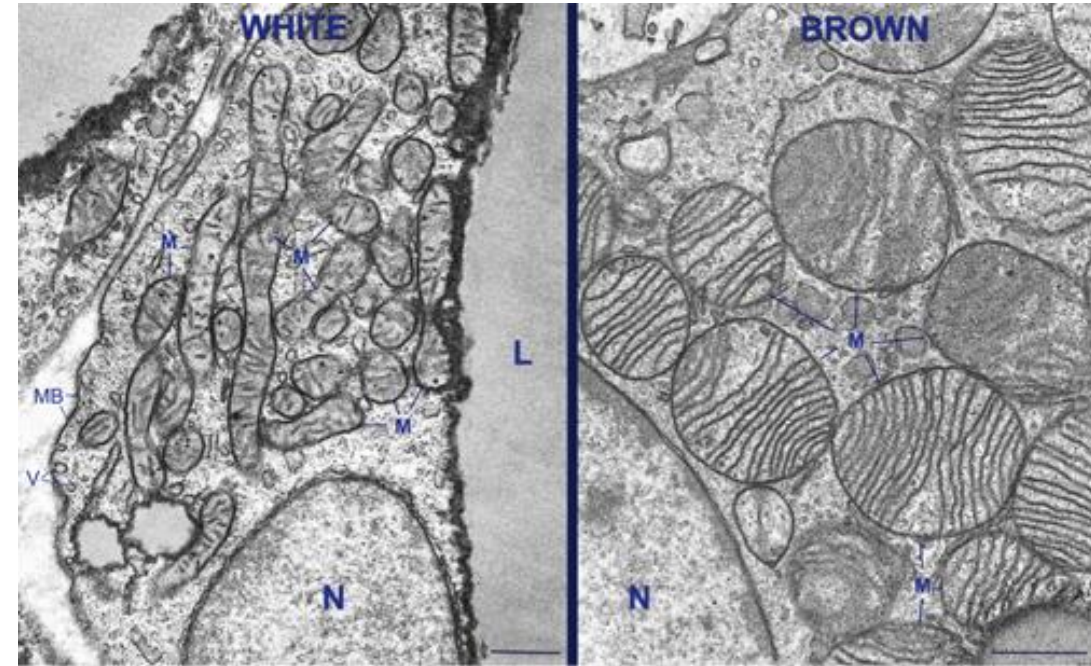
Cellules souches mésenchymateuses



Microscopie électronique



Microscopie électronique à balayage
=> morphologie cellulaire



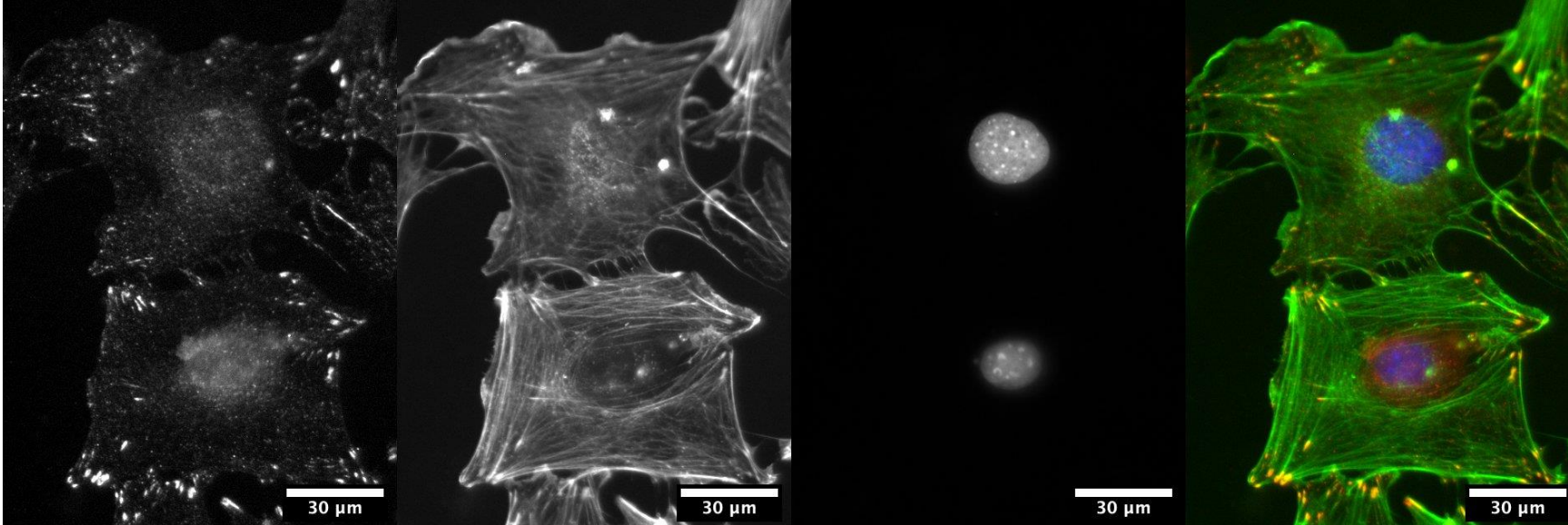
Cinti S. "The Adipose Organ" Kurtis, Milan 1999

Microscopie électronique en transmission
=> organites cellulaires (morphologie)





Microscopie optique en fluorescence



MC3T3-E1 cells on dense HA pellets

Staining of focal adhesions: Vinculin - Actin - Nuclei

A. Magnaudeix - own work



Acquisition / type de données





Microspectroscopie CARS

(coherent anti-Stokes Raman scattering)

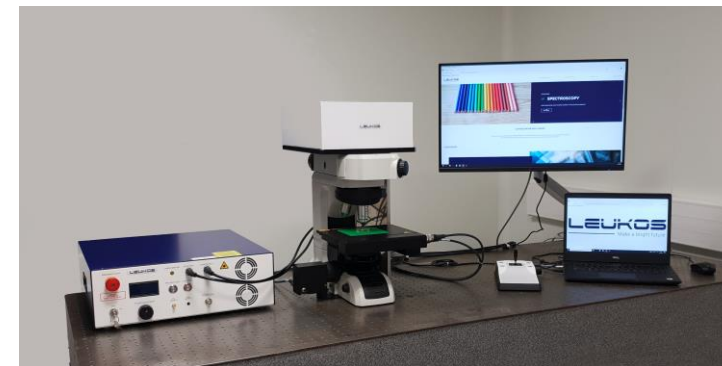
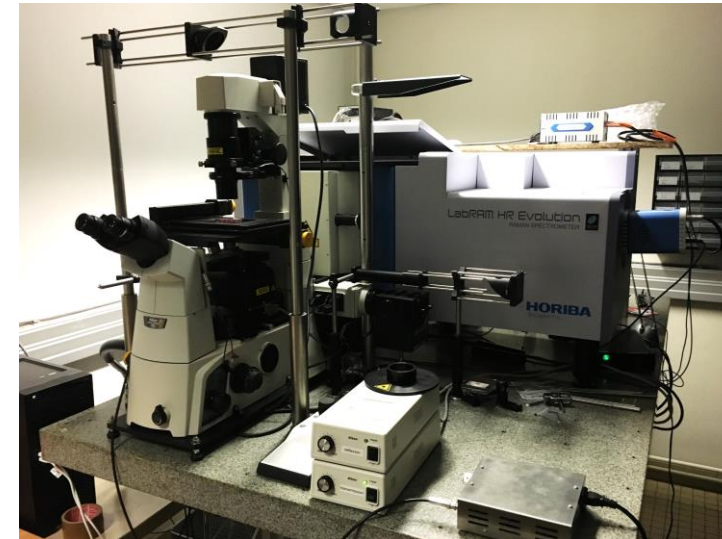
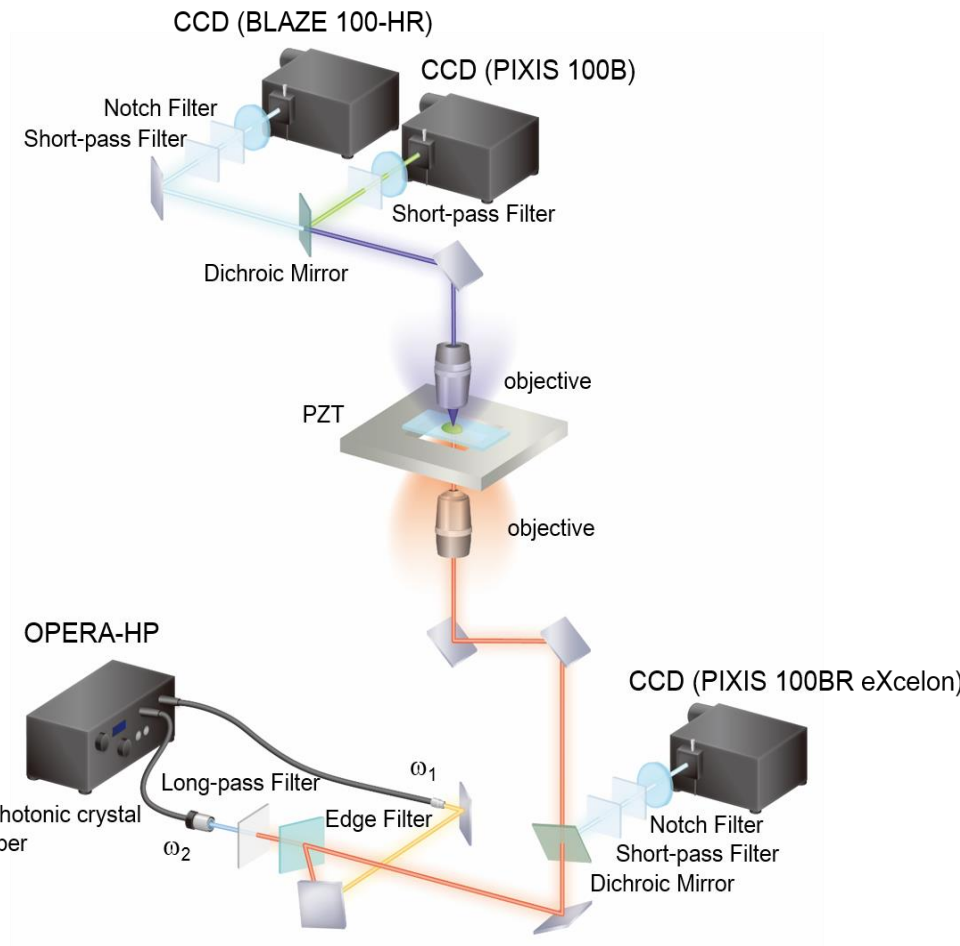
- Exploite un mécanisme **d'optique non linéaire** (le mélange à quatre ondes) mettant en jeu les états vibrationnels du matériau (**spectroscopie vibrationnelle**)
- Méthode d'imagerie sans marquage, **chimiquement sélective**, pour l'étude d'échantillons biologiques
- Permet d'obtenir des images « multicomposantes » de l'échantillon (composante <=> famille de composés chimiques, i.e. lipides, protéines, ADN/ARN, eau, etc.)





Microspectroscopie CARS

(coherent anti-Stokes Raman scattering)

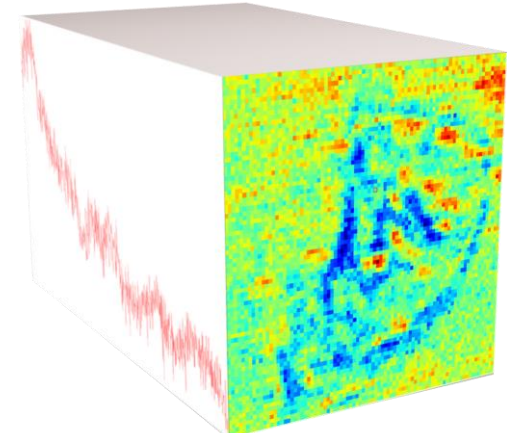


Données CARS x,y,(z), λ

Coordonnées (pixels)

Longueur d'onde

1	2	3	4	5	6	7	8	9	10	11	12	13	14	15	16	17	18	
1	699.9920	700.3650	700.7380	701.1120	701.4850	701.8580	702.2310	702.6040	702.9770	703.3500	703.7230	704.0960	704.4690	704.8420	705.2150	705.5870	705.9600	706.3330
2	831	836	833	832	832	828	829	830	832	833	834	829	834	831	833	832	838	829
3	834	833	831	831	833	831	835	831	833	827	830	835	835	834	836	831	834	832
4	833	836	828	833	833	831	834	826	834	832	830	831	833	831	834	828	833	831
5	835	832	835	829	833	834	832	832	833	830	834	831	830	829	828	832	832	832
6	833	831	835	829	829	830	834	829	832	832	830	832	833	831	836	828	831	831
7	834	833	834	833	829	829	832	831	831	833	833	828	831	831	834	830	834	834
8	834	832	827	833	829	834	830	833	832	833	830	835	829	837	834	831	831	831
9	835	834	832	832	831	834	827	831	829	831	833	833	829	830	834	831	831	833
10	832	833	829	834	832	835	831	833	830	829	833	832	832	834	835	831	831	828
11	831	832	834	831	835	832	835	830	830	832	832	832	828	832	829	830	830	830
12	835	830	831	831	834	836	835	830	833	832	832	831	835	836	830	833	831	837
13	835	829	836	829	838	832	831	830	830	831	832	831	834	832	834	831	829	832
14	834	831	832	830	833	832	837	835	833	831	833	831	834	834	832	833	831	833
15	828	829	831	830	829	831	829	833	831	837	833	834	832	834	830	833	829	833
16	831	831	831	835	829	833	831	833	834	834	833	834	831	833	836	829	833	832
17	829	834	835	834	833	832	831	836	833	832	832	830	828	834	833	830	834	831
18	828	831	833	832	832	836	834	835	831	831	830	833	835	830	830	828	835	831
19	831	836	831	834	833	833	833	834	832	835	829	832	835	831	834	832	834	831
20	829	837	831	832	828	834	832	833	833	830	829	829	829	834	832	831	831	833
21	835	837	830	834	832	836	830	832	828	833	833	834	830	829	834	829	833	830
22	829	834	831	836	832	828	831	830	832	830	830	829	832	829	832	829	833	832
23	834	832	829	833	832	834	829	833	830	832	829	830	831	834	833	831	837	832
24	829	831	830	835	833	830	831	834	834	832	832	833	832	829	832	829	835	832
25	832	834	832	833	833	832	832	832	833	827	831	830	834	831	834	835	834	829
26	827	839	832	833	831	835	832	831	836	831	831	834	833	830	838	828	835	828
27	829	834	834	834	832	830	834	832	831	832	831	829	830	829	830	833	831	830
28	835	830	837	828	836	832	833	831	831	832	830	831	830	830	833	832	832	832
29	831	830	836	833	832	834	829	834	829	835	833	836	831	834	830	834	833	835
30	829	832	830	835	834	836	828	832	832	834	833	833	828	835	837	836	832	830
31	834	829	829	833	832	833	832	833	830	834	830	833	826	832	830	836	830	830
32	828	833	832	836	832	834	832	834	831	831	834	833	832	836	832	834	833	831
33	833	834	829	831	828	833	832	832	832	833	835	831	834	833	833	834	832	831
34	830	828	835	831	835	828	834	832	835	827	835	829	832	831	829	833	832	831
35	831	831	830	833	834	832	833	833	833	830	834	831	830	835	835	833	834	832
36	831	829	835	828	832	828	834	831	835	834	830	833	833	831	832	831	834	833
37	835	831	832	832	835	837	834	833	832	830	829	833	829	833	830	837	830	832
38	838	831	832	834	830	831	833	831	830	834	829	833	828	836	832	834	834	836
39	832	832	831	834	833	834	833	830	829	834	830	833	833	832	829	835	835	835



Ex : 500 px * 500 px * 1000 ch => 2,5x10⁸ éléments (images 2D)



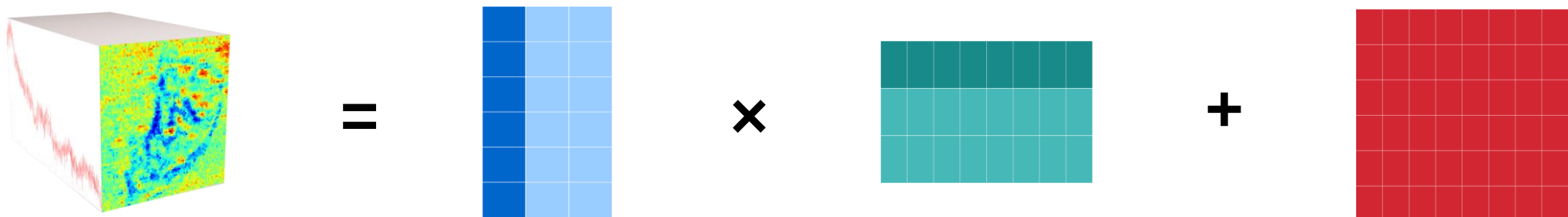
Traitement / analyse





Multivariate curve resolution (MCR)

$$D = CS^T + E$$



MCARS cube linearized
 $D \in \mathbb{R}^{M \times N}$

Concentration matrix
(quantitative information)
 $C \in \mathbb{R}^{M \times K}$

Spectra matrix
(qualitative information)
 $S \in \mathbb{R}^{N \times K}$

Error matrix
 $E \in \mathbb{R}^{M \times N}$

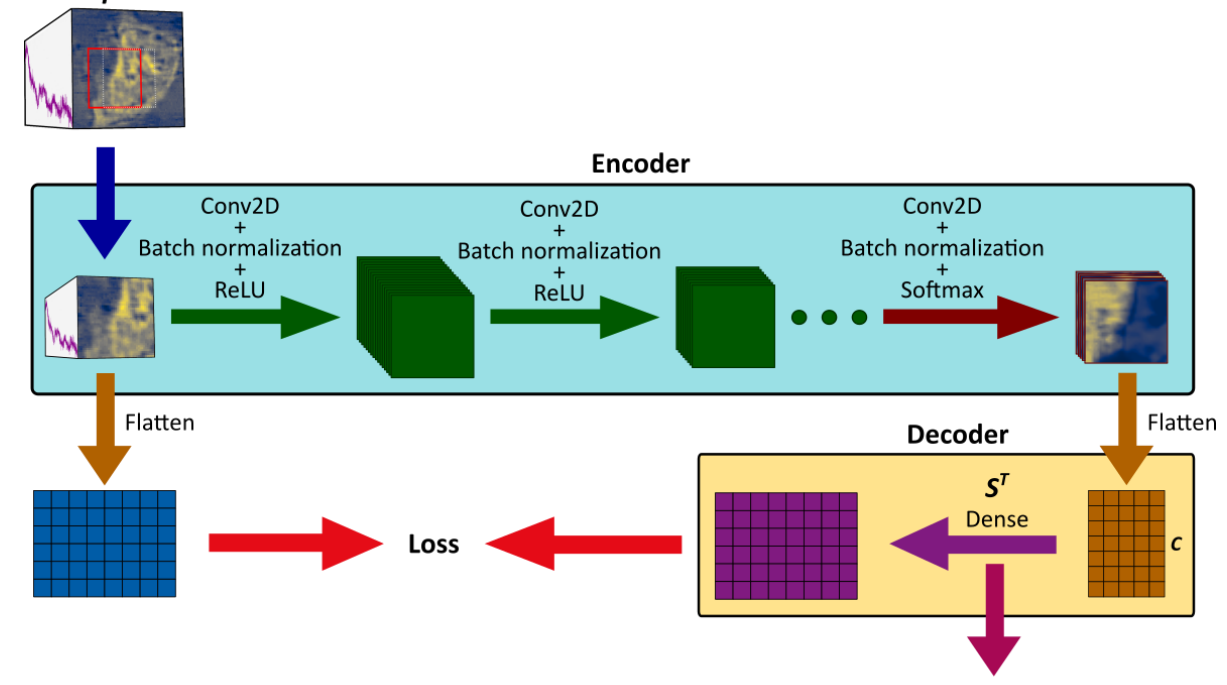
- Can be solved using least squares alternatively
- Need an initial estimation for one of the matrices
- Need to apply constraints consistent with studied phenomenon to reduce the amount of solutions:
 - Non-negativity on S
 - Non-negativity and sum to one on C

M : Number of pixels
 N : Number of spectral values
 K : Number of components



MCR solved with autoencoders

- Autoencoder: NN made of two blocks
 - Encoder \mathfrak{E}
 - Decoder \mathcal{D}
- The encoder maps input data into a latent space
- The decoder represents the spectra
- With a dense layer with weights ϕ as \mathcal{D} :
$$D = \mathfrak{E}(D)\phi^T + E$$

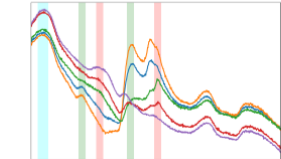


Using autoencoders for MCR allows:

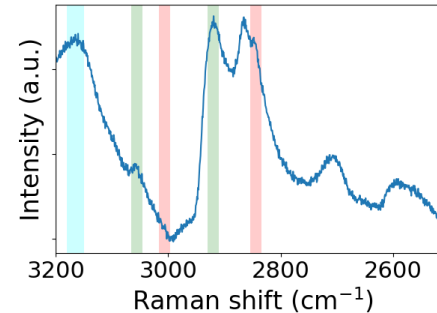
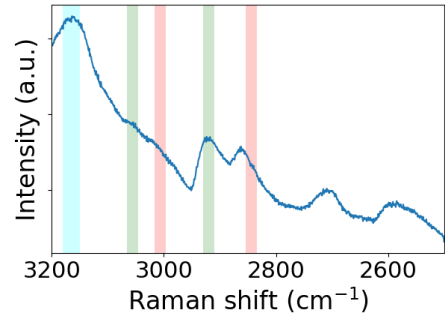
- Non-linear operations
- Spatial and spectral convolutions
- A large choice of loss function

But requires:

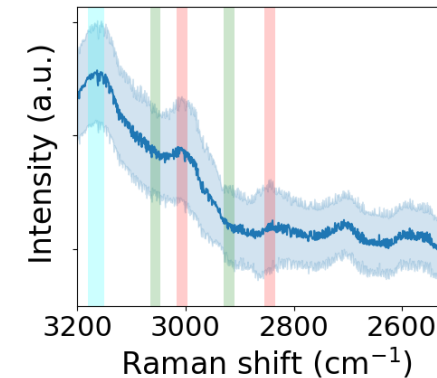
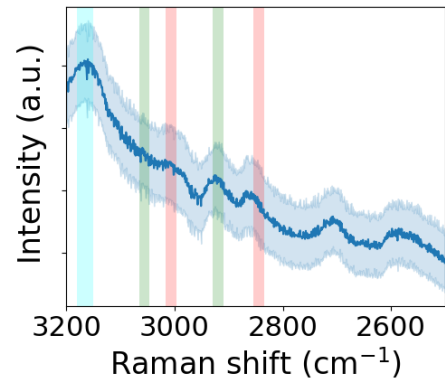
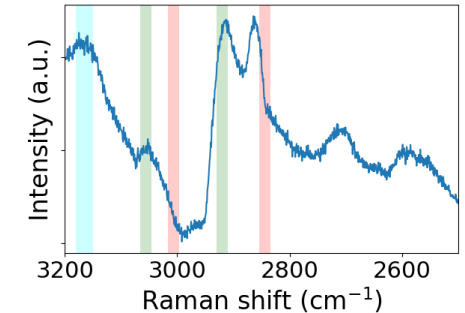
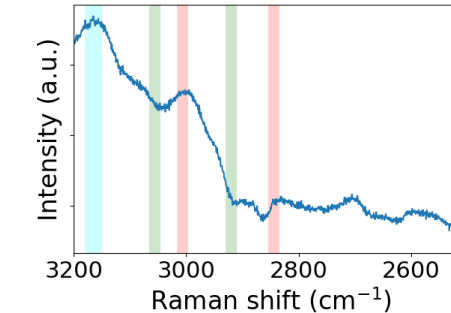
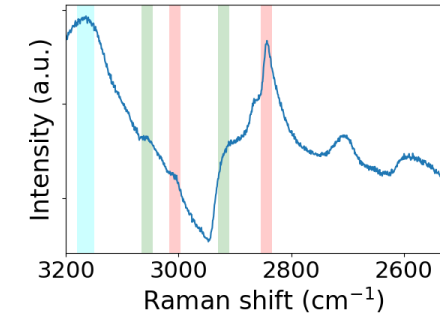
- Define how to implement constraints in the network
- Hyperparametrization
- Repeat trainings to validate found solutions



MCR-ALS compared to MCR-AE: Spectra



MCR-ALS

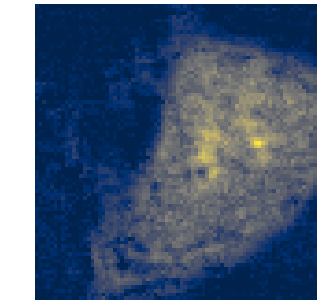
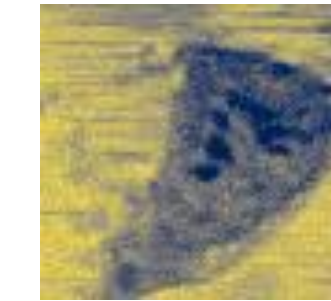
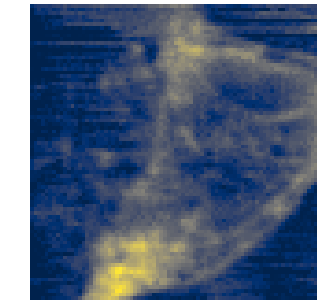
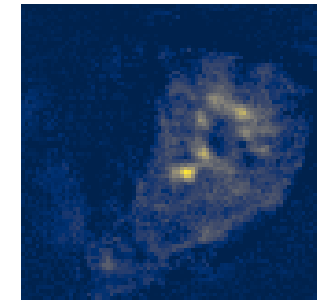
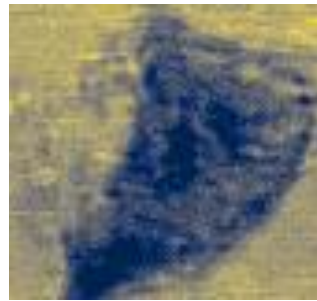


MCR-AE

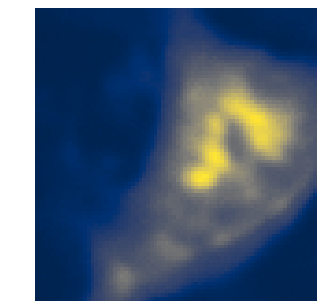
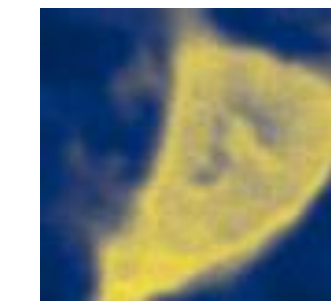
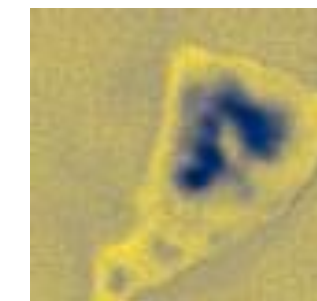
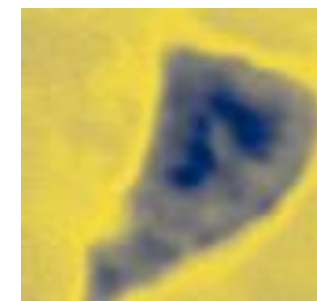
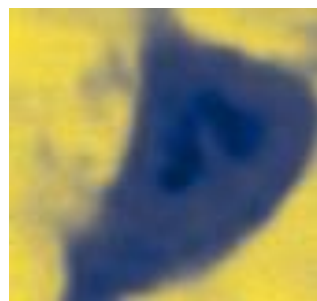


MCR-ALS compared to MCR-AE: Concentration

MCR-ALS



MCR-AE

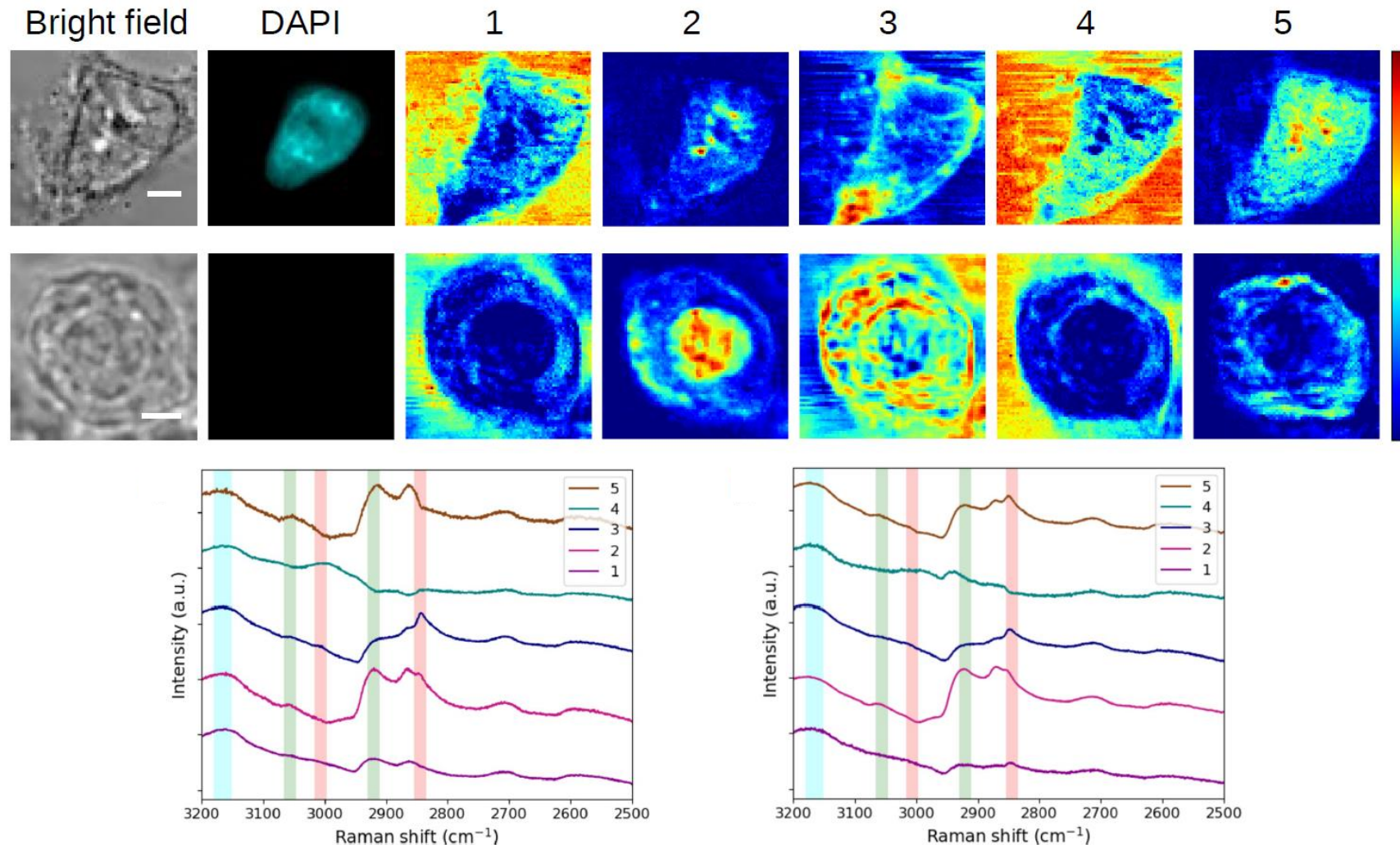




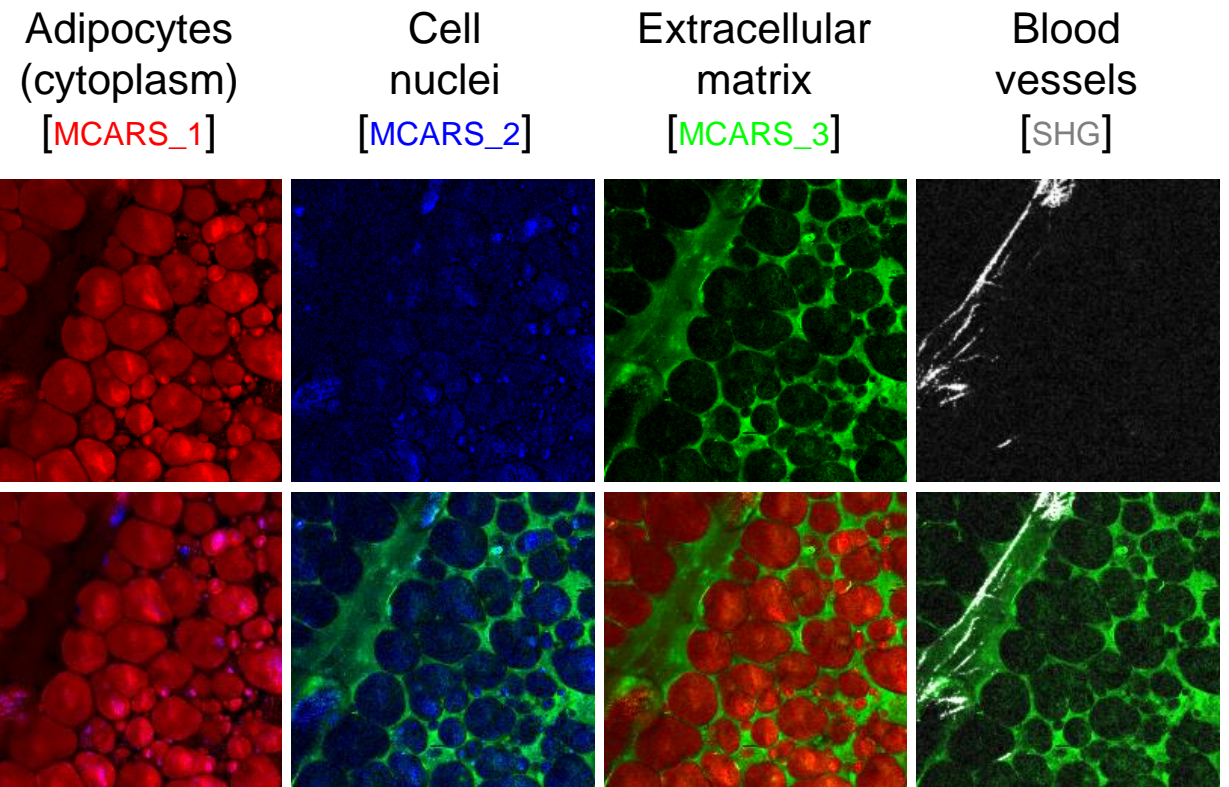
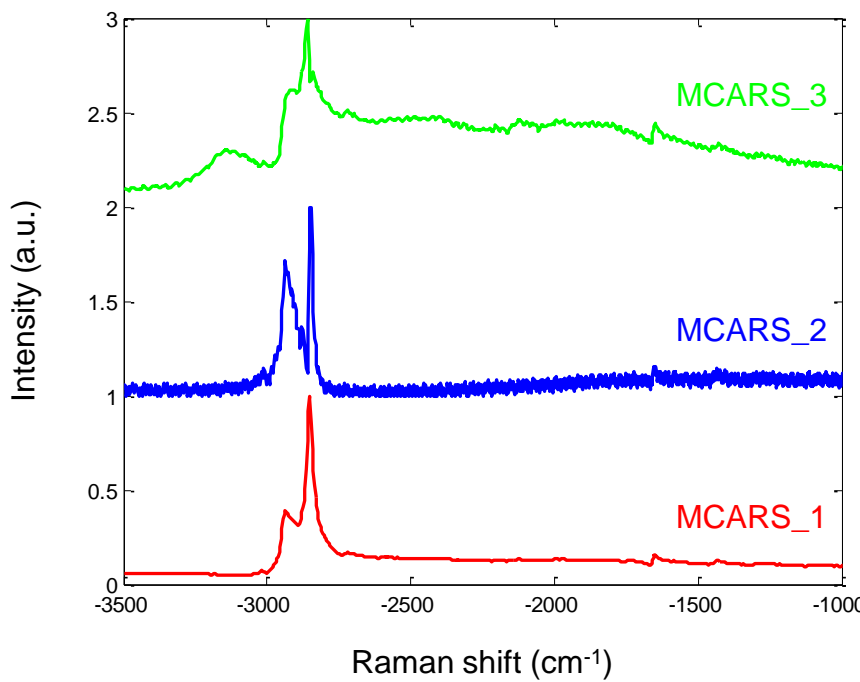
Quelques résultats (MCR)



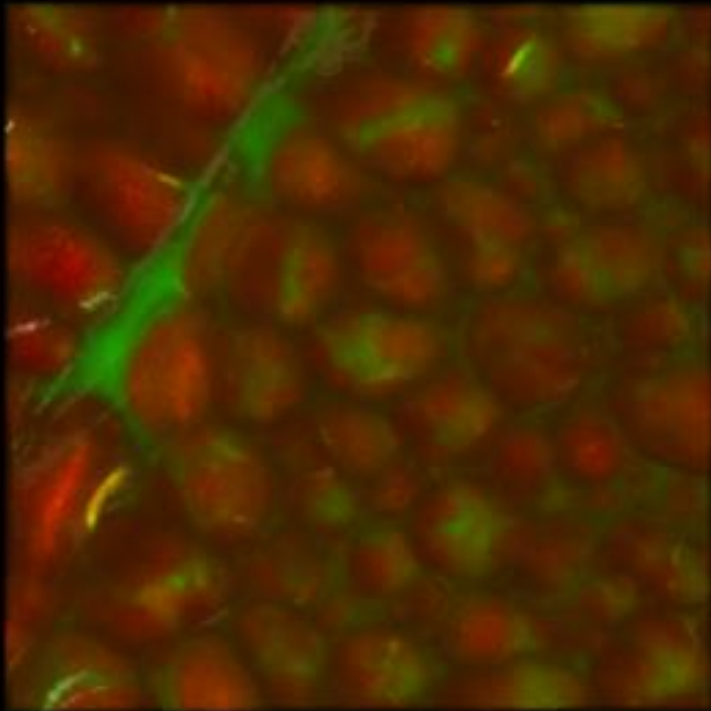
Study of the cell cycle



Hyperspectral imaging of adipose tissue



Hyperspectral imaging of adipose tissue



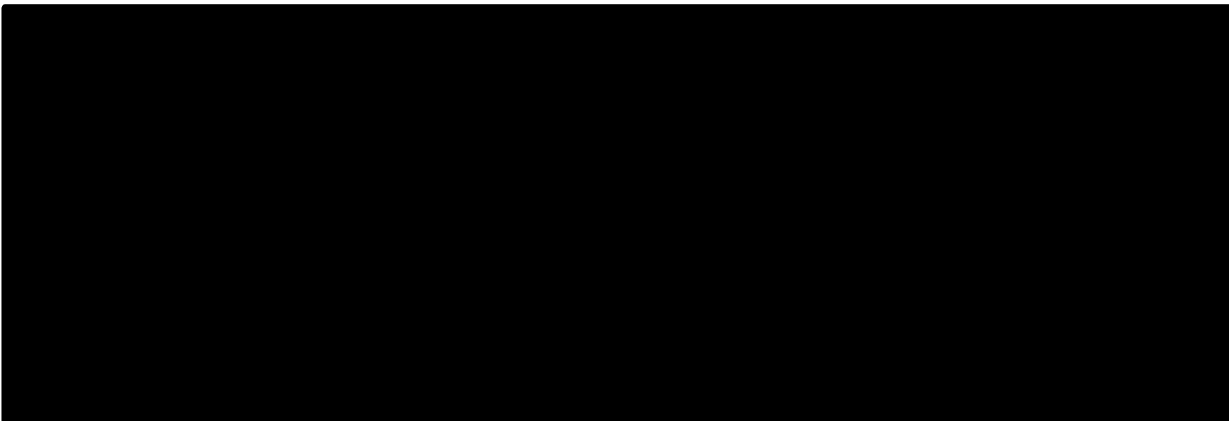
Annexes



Visualisation d'éléments cellulaires : marquage



- (trop) spécifique
- Couteux en réactifs, temps, échantillons

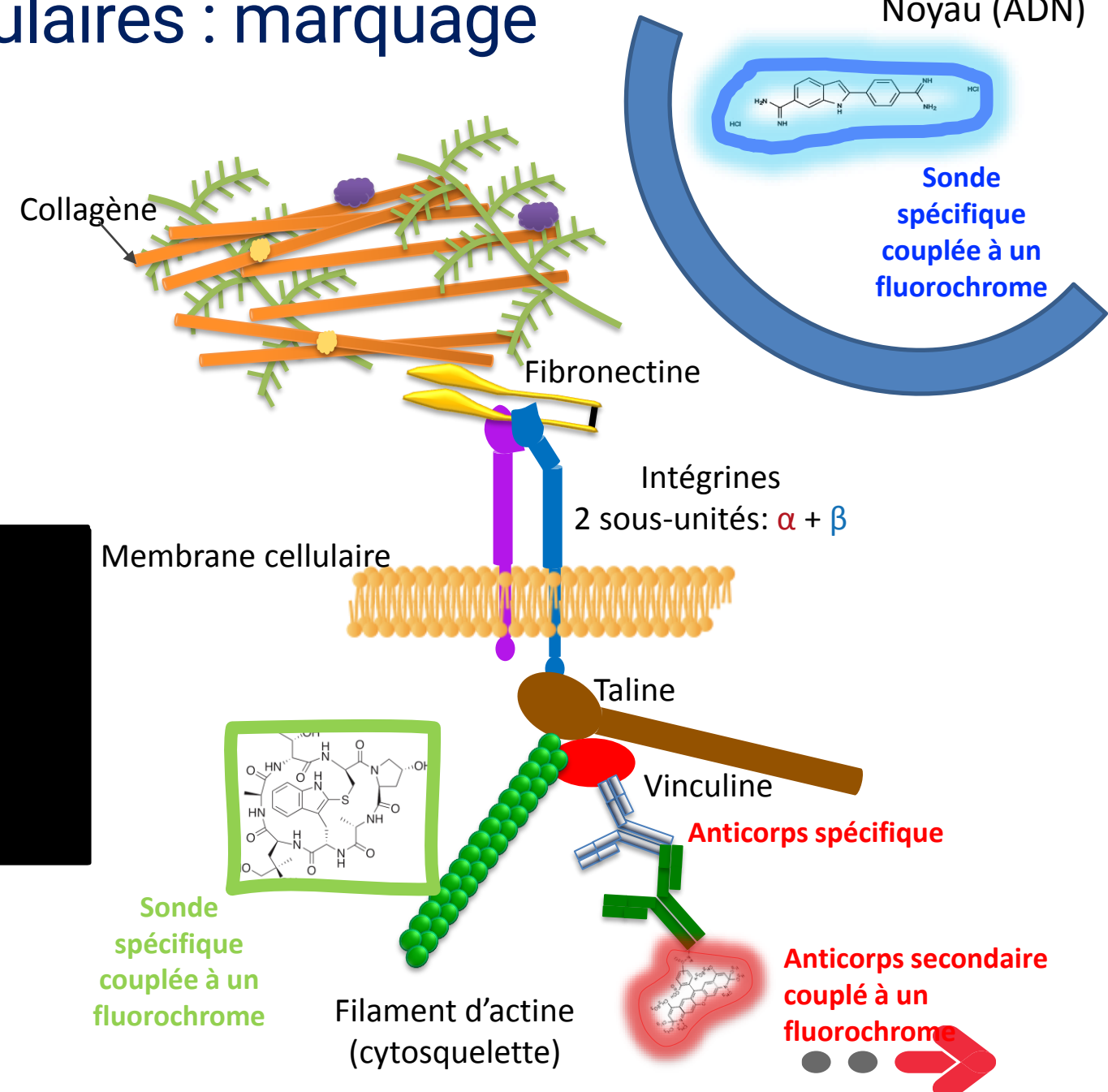


MC3T3-E1 cells on dense HA pellets

Fluorescence microscopy

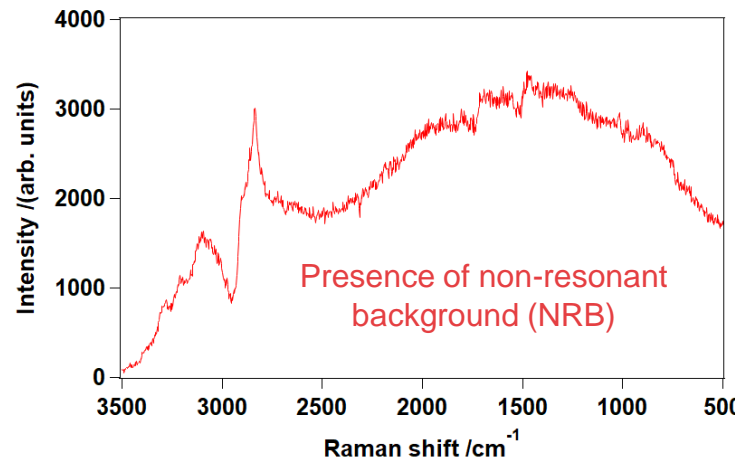
Staining of focal adhesions : *Vinculin* – *Actin* – *Nuclei*

A. Magnaudeix – own work



Data analysis: maximum entropy method (MEM)

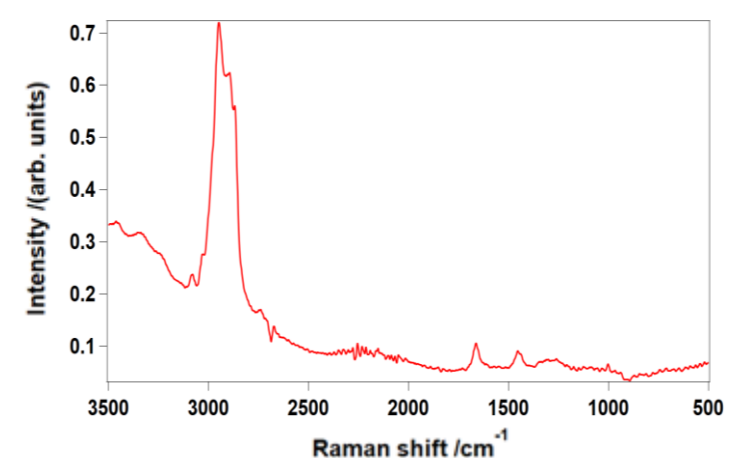
Raw CARS spectrum



$$S(v) = \left| \frac{\beta}{1 + \sum_{k=1}^M a_k \exp(-2\pi i k v)} \right|^2$$



$\text{Im}[\chi^{(3)}]$ spectrum



Spectrum-by-spectrum extraction of the pure vibrational signal
and recovery of conventional Raman-like spectra

[Vartiainen et al., Optics Express 14, 3622-3630, 2006]

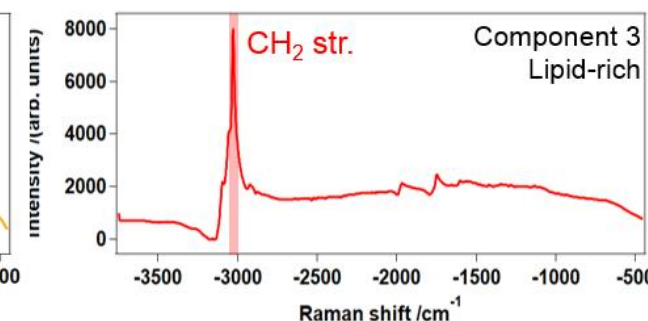
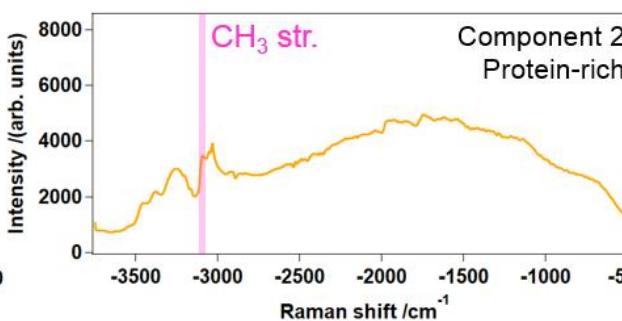
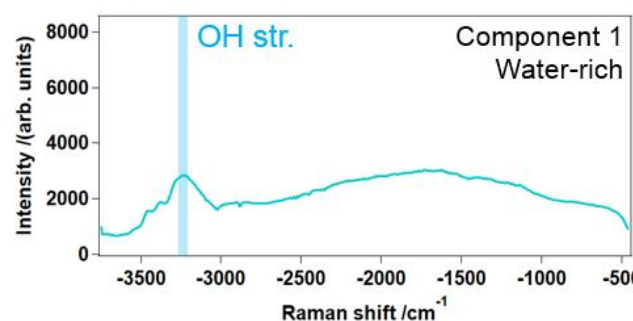
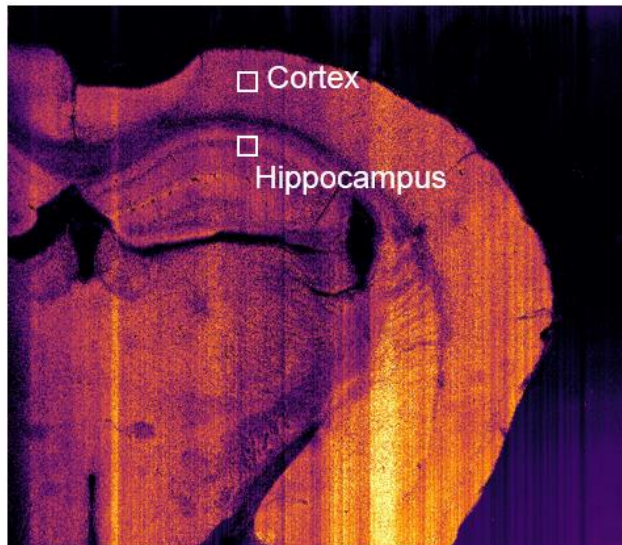
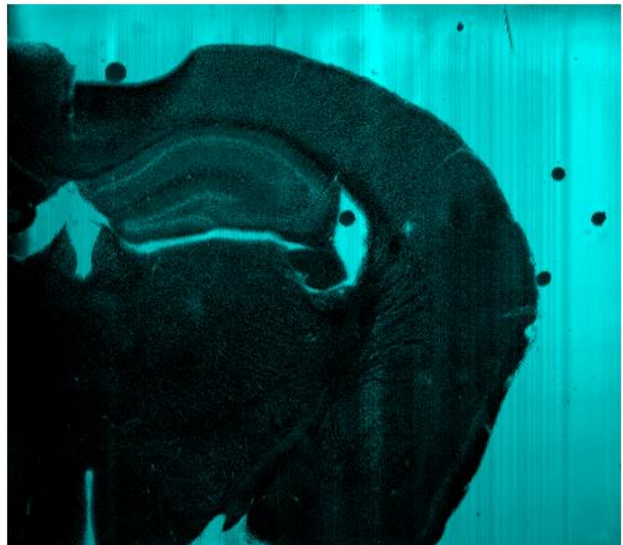




Brain label-free molecular imaging

MCARS + MCR

Macroscale
imaging



University of Tsukuba



INTERNATIONAL INSTITUTE FOR INTEGRATIVE
SLEEP MEDICINE



Ph.D. Program in
Humanics



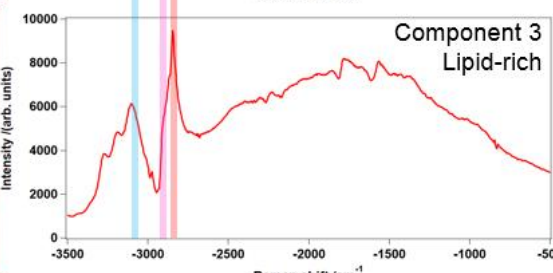
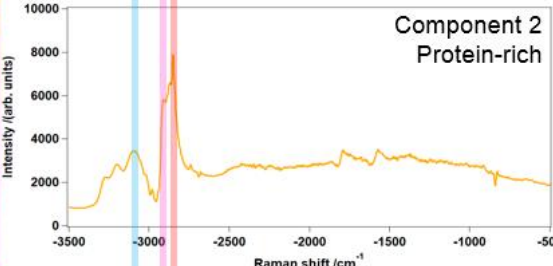
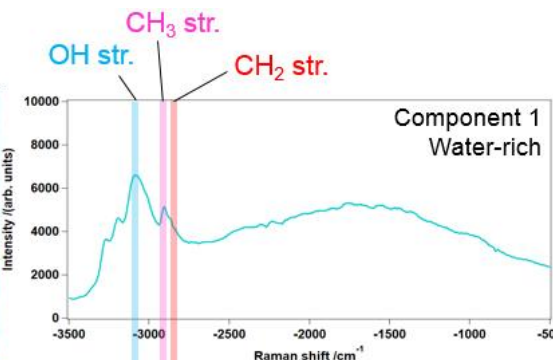
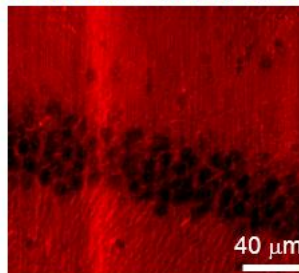
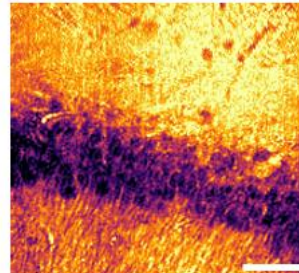
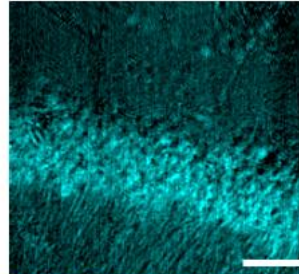


Brain label-free molecular imaging

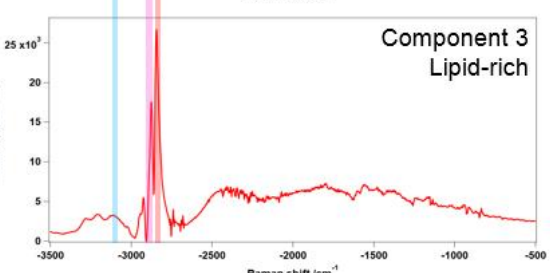
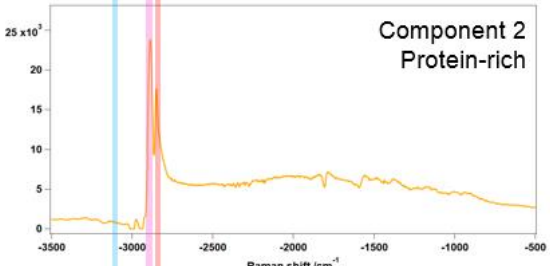
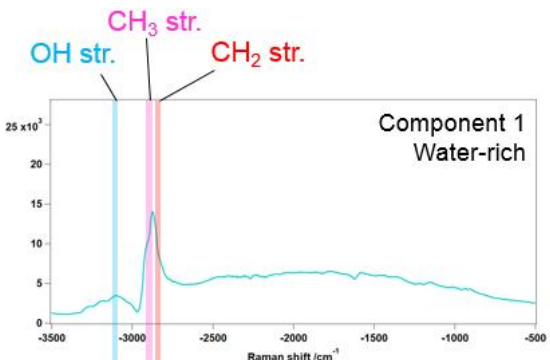
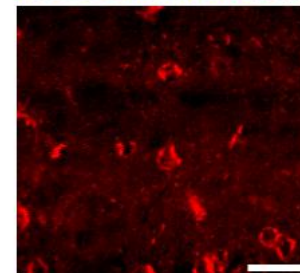
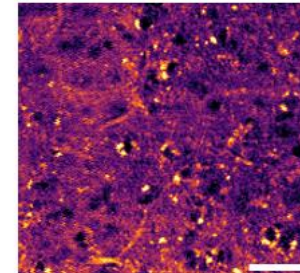
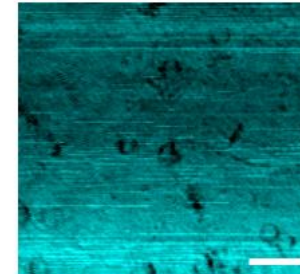
MCARS + MCR

Microscale
imaging

Hippocampus



Cortex



University of Tsukuba



INTERNATIONAL INSTITUTE FOR INTEGRATIVE
SLEEP MEDICINE



Ph.D. Program in
Humanics

